

## 鉛直補剛材を有する変断面アーチガーダーのせん断耐荷力実験

舞鶴工業高等専門学校 正会員 武田八郎  
関西大学工学部 正会員 三上巣藏

1.まえがき せん断力によって主として支配される変断面アーチガーダーの強度実験を、既に4試験体について行い報告してました。<sup>1,2)</sup> それらは、腹板高さが直線的に変化し、中間鉛直補剛材を有しないものであったが、今回、中間鉛直補剛材を有する2試験体について、せん断耐荷力実験を行ったので報告する。

変断面アーチガーダーのせん断強度の予測に関しては、Mandal<sup>3)</sup>の研究があるが、二の方法による予測値も併せて示した。

2.試験体 試験体2体(TS-T-1, TS-T-2)は、中間鉛直補剛材の断面寸法のみが異なる、圧縮側フランジが直線的に傾斜している変断面アーチガーダーである。図-1に設計寸法の概略を示す。桁は、腹板の幅厚比は相当大きくしており、またフランジの傾斜角は約10.1°である。桁の横変位を防止するように、スパン中央には横変位防止用フレームを、桁には支点上に強固なウイングを取り付けた。桁の両端を単純支持し、スパン中央において一点載荷した。せん断ハーネル①が対象となる試験ハーネルであるが、曲げ・せん断ハーネル②につけても測定を行った。材料試験結果を表-1に示す。ただし、Eはヤング率( $\text{kg}/\text{cm}^2$ )、 $\nu$ はボアン比、 $\sigma_y$ は降伏応力( $\text{kg}/\text{cm}^2$ )である。中間鉛直補剛材の降伏応力が、他のそれに比べてかなり高い。

3.測定結果 腹板の初期たわみは、TS-T-1, TS-T-2のせん断ハーネル①において、それぞれ最大4mm, 5mmであった。

両桁ともハーネル①の腹板に著しく張力場が発達し、フランジに塑性ヒンジが形成されて破壊した。写真-1に、桁(TS-T-1)の破壊状況を示す。表-2に破壊荷重 $P_{th}$ を示す。また、表中の $P_{th}$ は破壊荷重予測値であり、試験ハーネル①に文献3)の計算方法を適用したものである。計算値はやや高めの値を示しているが、良い近似を示していることわかる。

Hachirō TAKEDA, Ichizou MIKAMI

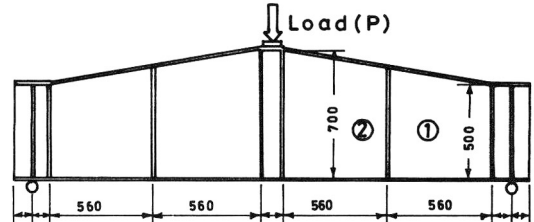
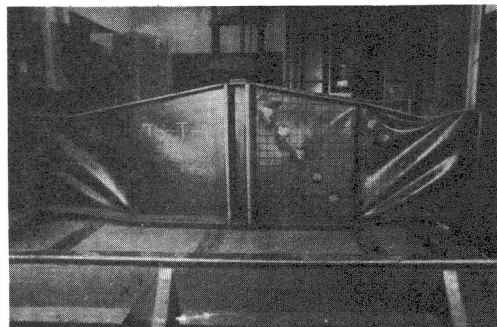


Fig. Pl. 160x12  
2-Stiff. Pls.  
Web thickness 1.6  
32x3.2 (TS-T-1)  
13x3.2 (TS-T-2)

Fig. 1 Tapered girder

Table 1 Coupon test results

	E	$\nu$	$\sigma_y$
Flange	$2.0 \times 10^6$	0.29	2200
Web	$2.2 \times 10^6$	0.28	2860
Stiffener	$2.1 \times 10^6$	0.28	3790



図一に、TS-T-2 桁の傾斜フランジの軸方向ひずみ分布を示す。低荷重の間は直線的な変化を示すが、張力場作用の発達と共に、腹板からフランジにかけた働き分布が乱れ、特に塑性ヒンジ生成位置付近での値は急増する。中間補剛材位置では、フランジを連続ばかりとみなしたときの中間補剛材の支持の役割により、値が低下してい。

図一および四に、船直補剛材の軸方向ひずみの変化の一例を示す。両図から、非線形性の表われる荷重はほぼ等しい。しかし、破壊荷重に近づくにつれて、TS-T-2 桁のひずみは TS-T-1 桁に比べてかなり大きな値を示している。腹板高さとして、ハネル①の平均腹板高さを使用した場合、Bleich の示した必要最小剛比に付して、両桁の中間補剛材の剛比は TS-T-2 桁で 3.8 倍、TS-T-1 桁で 51.4 倍の値を有している。試験桁が小形模型という点で問題はあるが、実験から推定して変断面アーレートが一ダードの場合、傾斜フランジの軸力の船直分力が中間補剛材に作用するることも考えると、中間補剛材の必要剛比の設定にはかなりの慎重さが要求されると思われる。

詳しい実験結果については、講演会当日述べる予定である。

[謝辞] 本研究を行うにあたり、卒業研究の一環として助力を得た舞鶴高専の岩間入君・柴田宗明君に感謝の意を表す。

1) 武田三上: 変断面アーレートガーダーのせん断耐荷力実験、第35回土木学会年次学術講演会概要集、I-121, 1980.

2) 武田三上: 変断面アーレートガーダーのせん断強度についての二、三の考察、第37回土木学会年次学術講演会概要集、I-187, 1982.

3) Davis, G. and Mandal, S.N.: The Collapse Behaviour of Tapered Plate Girder Loaded within the Tip, Proc. Instn. Civil. Engr., Part 2, Vol. 67, 1979.

Table 2 Collapse loads, P(tons)

	$P_{ex}$	$P_{th}$
TS-T-1	23.50	24.26
TS-T-2	24.15	24.26

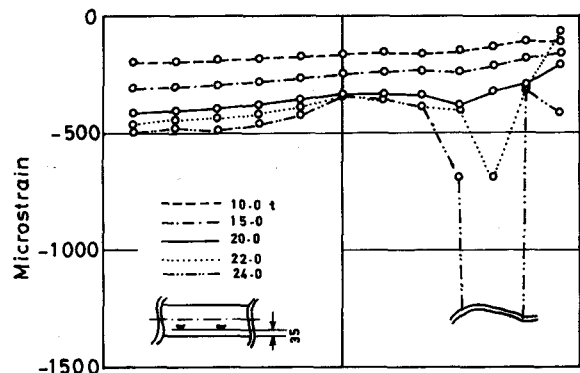


Fig. 2 Longitudinal strain in compression flange

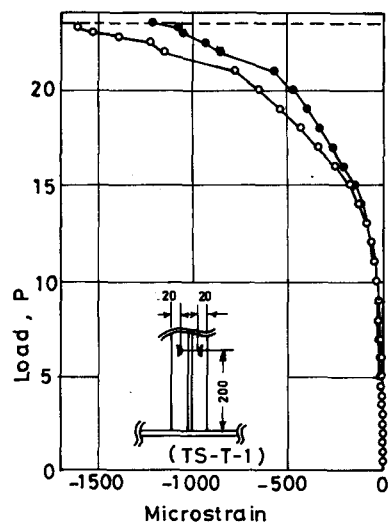


Fig. 3 Longitudinal strain in stiffener

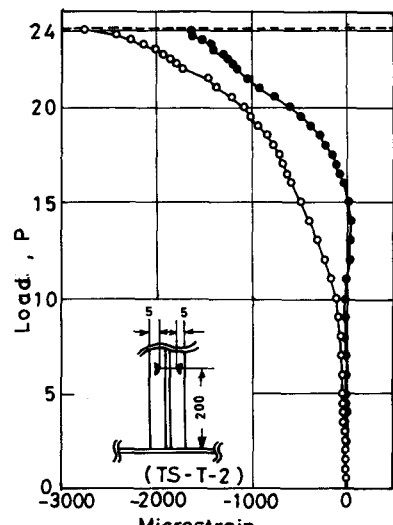


Fig. 4 Longitudinal strain in stiffener